Федеральное государственное бюджетное образовательное учреждение высшего образования «Красноярский государственный медицинский университет имени профессора В.Ф. Войно-Ясенецкого» Министерства здравоохранения Российской Федерации

Кафедра лучевой диагностики ИПО

МРТ брюшной полости при подозрении на острый аппендицит у детей

Fast acquisition abdominal MRI study for the investigation of suspected acute appendicitis in paediatric patients

Karl James, Patrick Duffy, Richard G. Kavanagh, Brian W. Carey, Stephen Power, David Ryan, Stella Joyce, Aoife Feeley, Peter Murphy, Emmet Andrews, Mark F. McEntee, Michael Moore, Conor Bogue, Michael M. Maher & Owen J. O' Connor

Работу выполнила ординатор 1-го года, специальности «Рентгенология»

Соболева В.О.

Актуальность

Боль в животе – третья по частоте причина обращения в отделение неотложной помощи среди девочек и шестая среди мальчиков в возрасте до 15 лет в США. Острый аппендицит – наиболее частая детская жалоба в США. Ранее диагноз «острый аппендицит» выставлялся на основании клинических данных, что иногда приводило к резекции нормального аппендикса («отрицательная аппендэктомия») примерно в 14% случаев до операции. Однако, современные методы медицинская визуализация повысили качество этой практики. Широкое использование компьютерной томографии (КТ) способствовало снижению частоты случаев отрицательной аппендэктомии с 23% до 1,7%. Магнитно-резонансная томография (МРТ) также применяется при подозрения на острый аппендицит у детей. Часто используются последовательности турбо спин-эхо (SSFSE) в режиме Т2 в нескольких плоскостях.

Цель

- □ Оценить и сравнить диагностическую точность последовательностей 3T-MPT с задержкой дыхания и без задержки дыхания при подозрении на острый аппендицит у детей.
- □ Оценить, дает ли диффузионная MPT (DWI) дополнительную полезную информацию при диагностике острого аппендицита.
- □ Сравнить точность МРТ с результатами УЗИ в условиях больницы общего профиля.

□ **Критерии включения**: любой пациент в возрасте от 5 до 16 лет (включительно), поступивший в отделение неотложной помощи с симптомами острого аппендицита.

□ Критерии исключения:

- •Операции на органах брюшной полости в анамнезе,
- •Злокачественные новообразования брюшной полости,
- •Когнитивные расстройства, которые не позволяют провести МРТ-исследование.
- □ Информированное согласие было получено до ультразвукового исследования от всех пациентов.
- □ До УЗИ пациенты прошли осмотр у дежурной хирургической бригады

- □ УЗИ проводилось дежурным врачом-радиологом и ординатором-радиологом. УЗИ выполнялось с помощью высокочастотного датчика (11 МГц) (General Electric, WI, США; ML6-15-D), с использованием стандартных абдоминальных настроек.
- МРТ-исследование выполнялось с использованием 3Т-МРТ сканера (General Electric, WI, США; 750 Вт). Все пациенты проходили исследование натощак с минимальным временем голодания в 4 часа. Использовалась стандартная передняя матричная катушка GEM, ориентация пациента «ногами к гентри».

- □Исследовательская группа была последовательно разделена на две когорты; 20 пациентов были сканированы на МРТ с задержкой дыхания; 32 пациента были сканированы на МРТ без задержки дыхания.
- □Протокол MPT состоял из однократного аксиального и фронтального исследования в режиме T2 SSFSE, с подавлением сигнала от жировой ткани и без, с последующей DWI в аксиальной проекции. (Таблица 1).
- □Аксиальное сканирование начиналось от правых ворот почек до головок бедренных костей. Фронтальное сканирование включало всю брюшную полость, от верхнего полюса левой почки до лобкового симфиза.

- □Результаты гистопатологического исследования использовались в качестве «золотого стандарта» для анализа данных. Пациенты, которые лечились без хирургического вмешательства, наблюдались в течение 6 месяцев с целью выявления рецидивов.
- □Для определения наличия острого аппендицита использовалась модифицированная четырех-балльная система оценки (Таблица 1).
- □В представленных методах оценки четыре балла указывают на наличие аппендицита; эта оценка присваивается только в том случае, если аппендикс хорошо визуализируется и отмечен как аномальный, с утолщением и/или признаками воспаления.

Таблица 1. Модифицированная система оценок для классификации результатов МРТ и УЗИ в случаях подозрения на острый

U – УЗИ,	Описание	
М –оценка МРТ		
U1/M1	Нормальный аппендикс полностью визуализируется; аппендицита нет.	
U2/M2	Неоднозначные данные, скорее всего аппендицита нет (т.е. аппендикс не визуализируется, нет вторичных признаков аппендицита ИЛИ аппендикс не визуализируется + неспецифичные признаки аппендицита, НО состояние не считается аппендицитом, ИЛИ аппендикс визуализируется частично и считается нормальным).	
U3/M3	Неоднозначные данные, скорее всего аппендицит есть (т.е. аппендикс не визуализируется, но есть подозрение + вторичные признаки аппендицита, такие как эхогенный или гиперемированная жировая ткань на УЗИ, ИЛИ изменения брыжеечного жира на МРТ, ИЛИ неспецифические признаки аппендицита)	
U4/M4	Визуализируется аномальный аппендикс; аппендицит.	

Результаты

обратившиеся в отделение неотложной помощи в период с мая по август 2017 г., участвовали в исследовании. ■ Все они соответствовали критериям включения в исследование. \square Средний возраст пациентов составлял 11 ± 2 года (от 5 до 16 лет). □ Средний индекс массы тела (ИМТ) составил 20,14 ± 3,2. Клинические показатели пациентов обеих групп представлены в таблице 2.

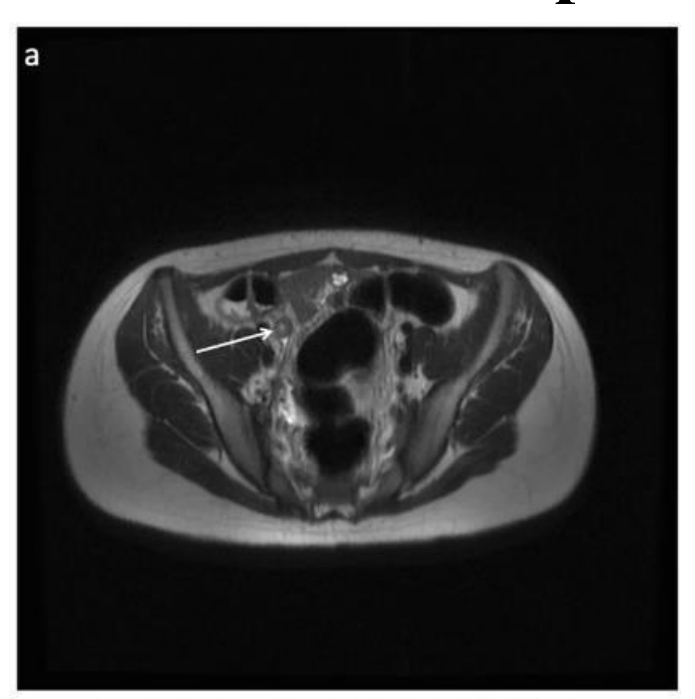
Таблица 2. Сравнение клинических показателей испытуемых обеих групп исследования

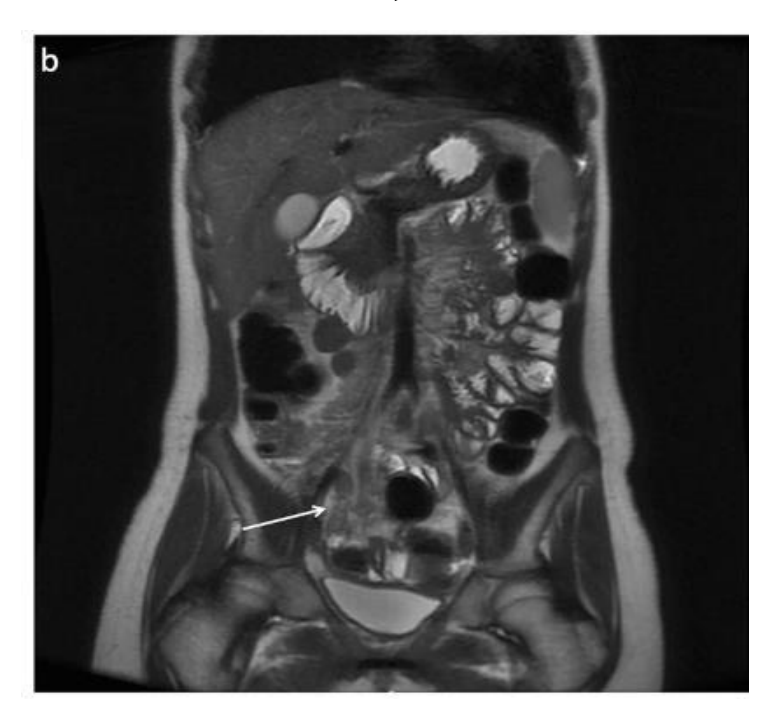
Клинические показатели	МРТ без задержки дыхания	МРТ с задержкой дыхания	Значение р
Длительность симптомов (дни)	1.9	2.2	0.537
Лейкоциты кл/л	18.5	13.4	0.494
С-реактивный белок мг/л	12.4	10.5	0.212
Продолжительность лечения в больнице (дни)	2.9	3.1	0.748

Результаты

	Результаты анализов были получены для всех 30 пациентов,	
	перенесших операцию.	
	Было выявлено 23 пациента с измененным аппендиксом –	
	11 в группе МРТ с задержкой дыхания; 12 в группе МРТ без	
	задержки дыхания.	
	7 пациентов имели нормальный аппендикс во время	
	операции; у одной из них была обнаружена киста желтого	
	тела, подтвержденная на УЗИ и МРТ.	
	Выписавшиеся пациенты без хирургического вмешательства	
	повторно с жалобами на боль в животе не обращались.	
	У трех пациентов, перенесших операцию, был обнаружен	
	энтеробиоз без признаков острого воспаления.	
	Выявлен один случай острого аппендицита у пациента с	
мальротацией кишечника.		

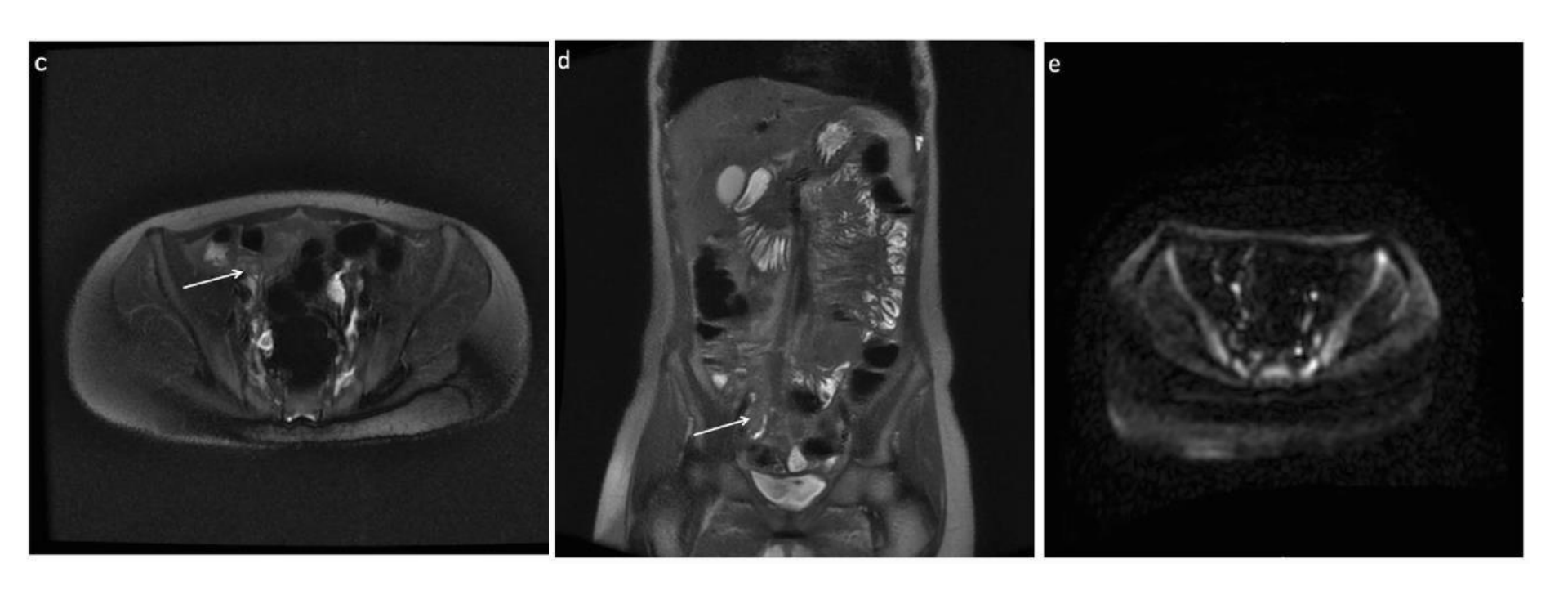
МРТ-серия с задержкой дыхания 12-летней пациентки с острым аппендицитом, оценка **М**4





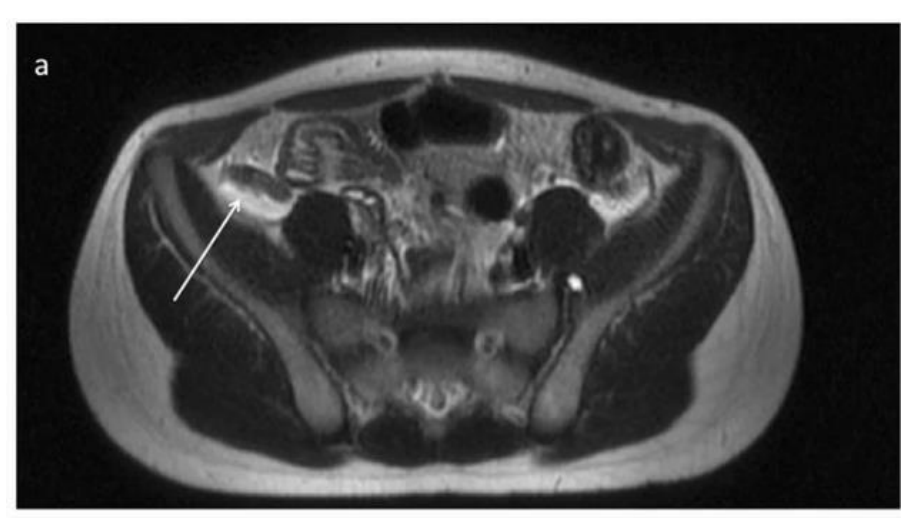
DS подтвержден гистологически. Аппендикс не визуализировался на УЗИ. Наблюдается утолщение отростка и периаппендикулярной жировой ткани (стрелки). На DWI нет усиленного сигнала. Аксиальный (а) и фронтальный (b) срезы в Т2-режиме с подавлением сигнала от жировой ткани соответственно;

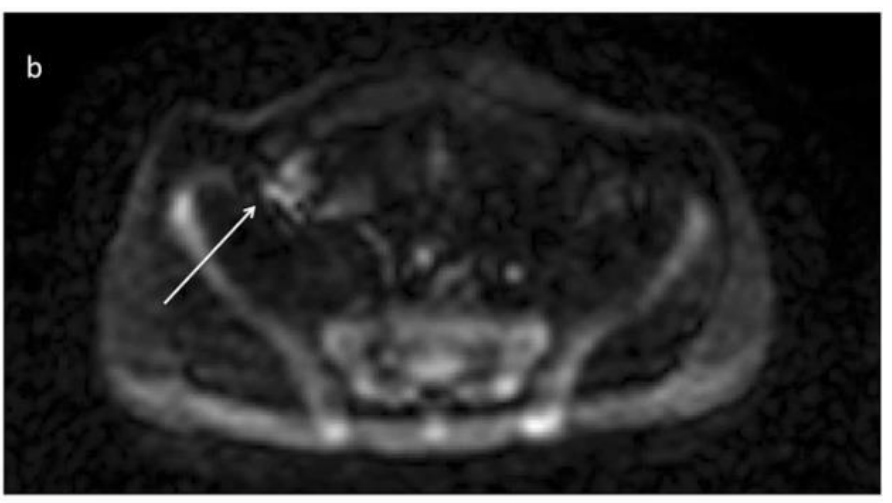
МРТ-серия с задержкой дыхания 12-летней пациентки с острым аппендицитом, оценка **М**4



Аксиальный (c) и фронтальный (d) срезы в Т2-режиме без подавления сигнала от жировой ткани, соответственно; аксиальный срез (e) DWI B = 1400

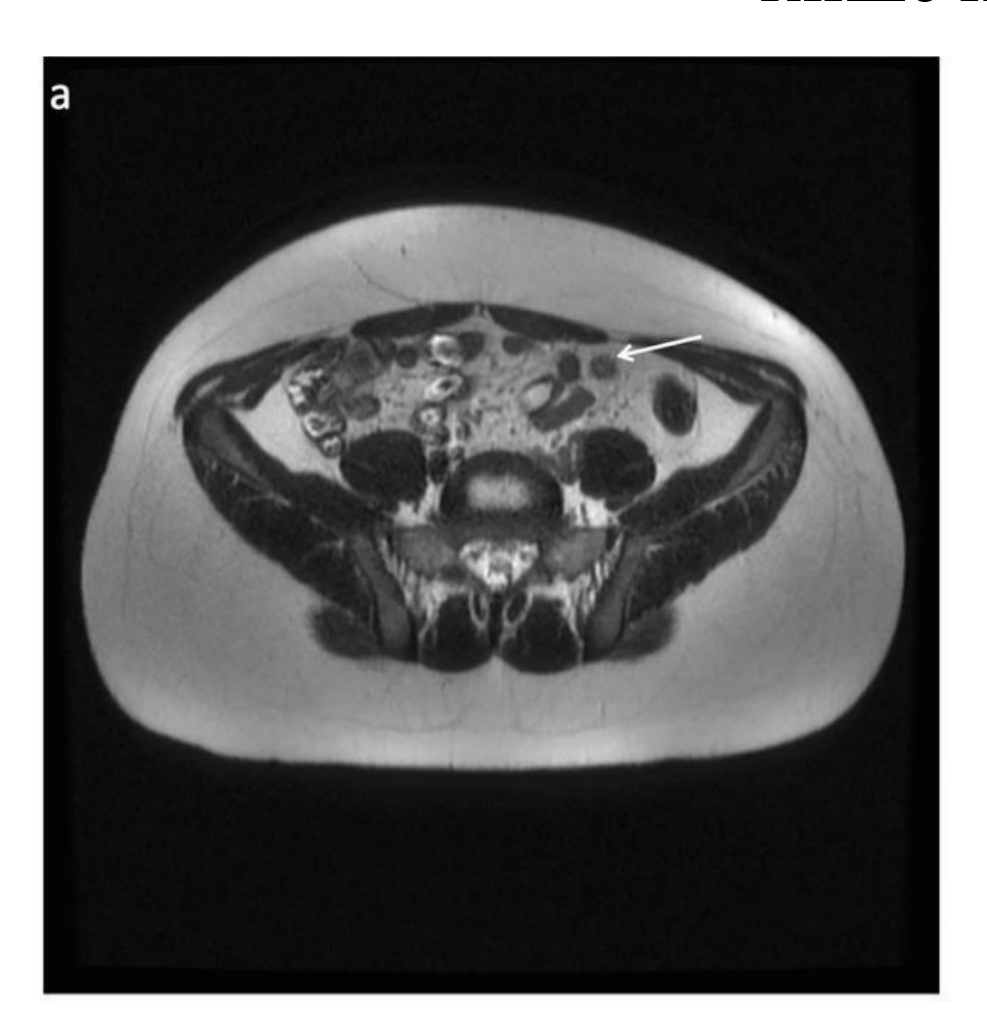
МРТ-серия без задержки дыхания 8-летнего пациента с рентген-признаками острого аппендицита, оценка М4





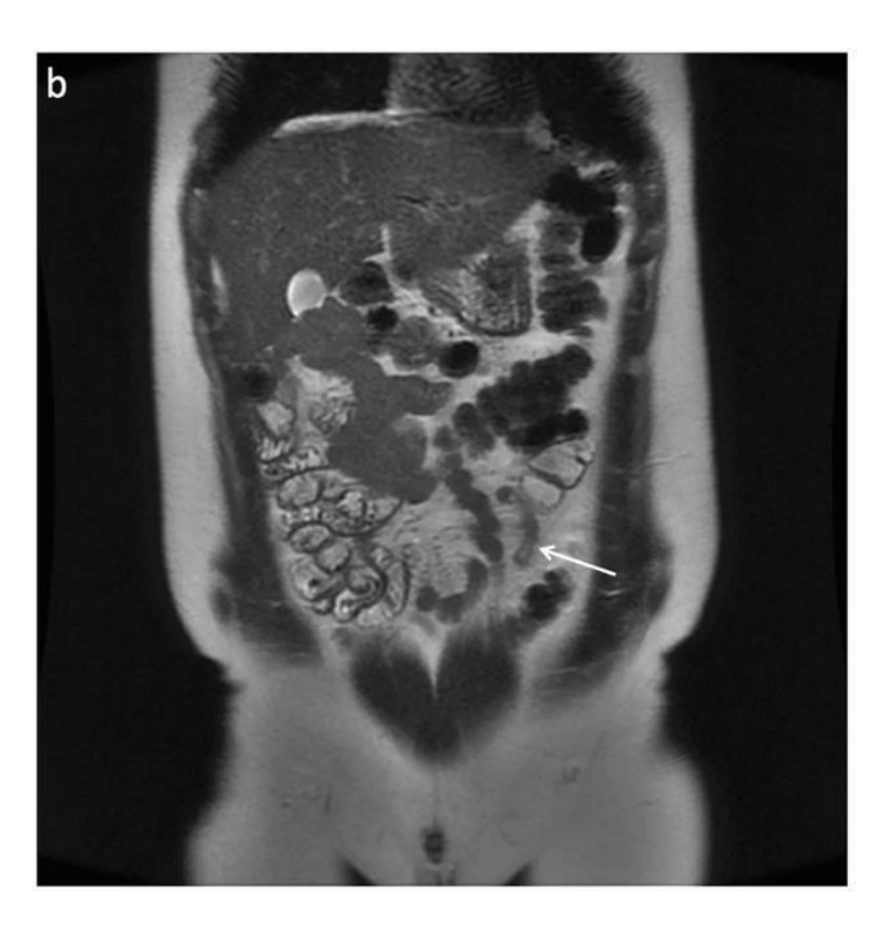
Аппендикс не визуализировался на УЗИ. Наблюдается утолщение отростка и периаппендикулярной жировой ткани (стрелки). На DWI был повышенный сигнал Т2. Гистологически были выявлен энтеробиоз. Симптомов острого аппендицита у пациента не было. Представлены аксиальные срезы (а) в Т2-режиме без подавления сигнала от жировой ткани, (b) МРТ DWI B = 1400, соответственно

МРТ-серия 12-летнего пациента с мальротацией кишечника



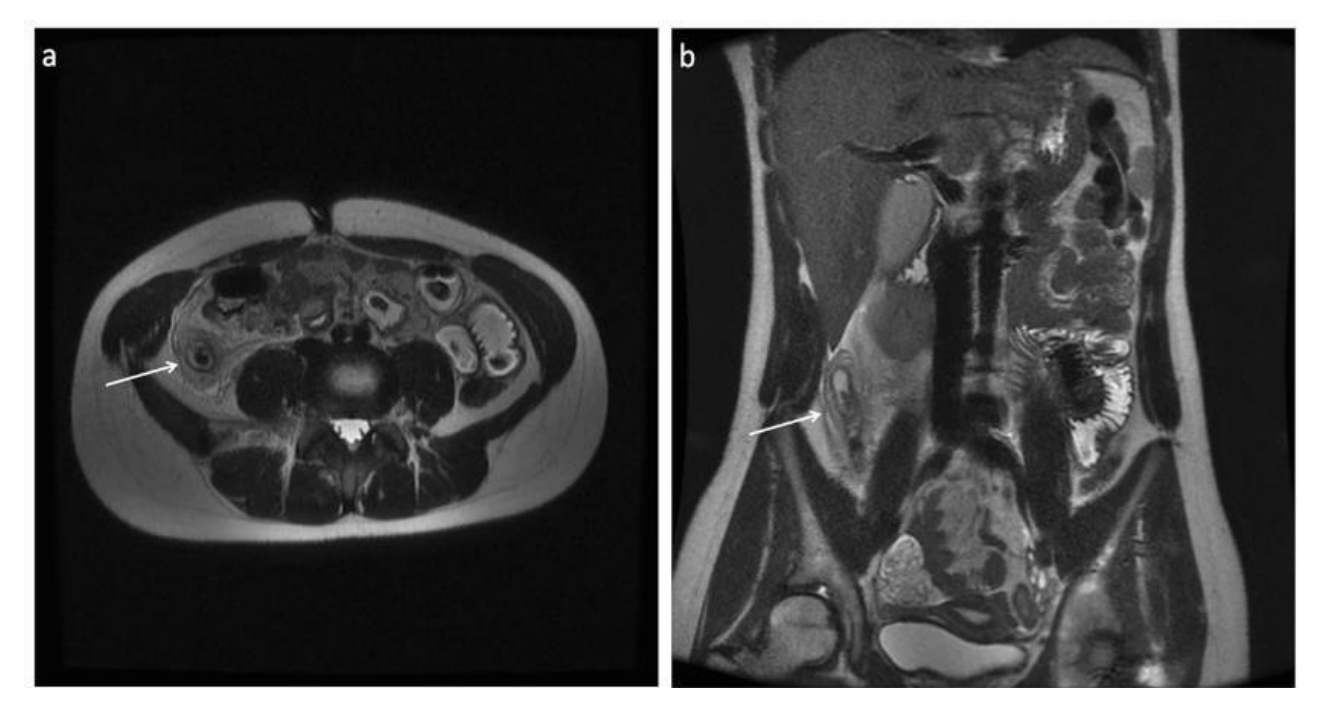
Т2-взвешенная МРТ-серия без подавления сигнала от жировой ткани, демонстрирующая аппендикс, расположенный слева от срединной линии. Аппендикс утолщен, размером до 9 мм с окружающими воспалительные жировыми прослойками (стрелки). Представлены аксиальные (а) Т2-взвешенные изображения МРТ.

МРТ-серия 12-летнего пациента с мальротацией кишечника



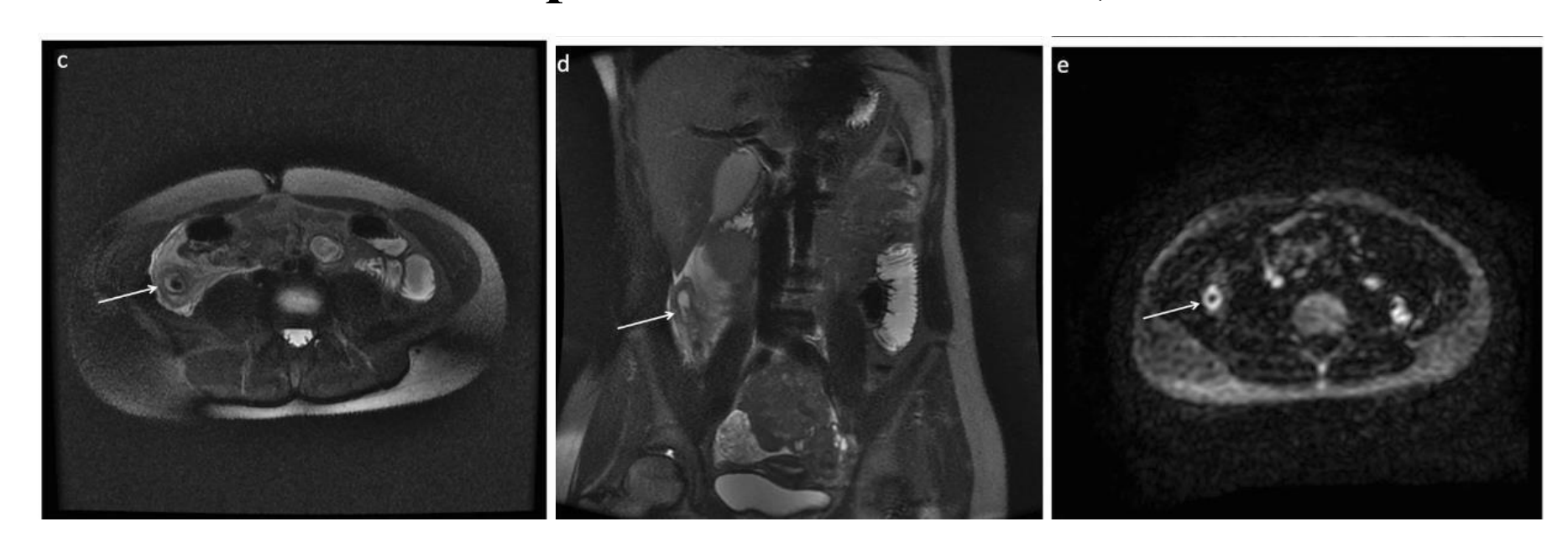
Т2-взвешенная МРТ-серия без подавления сигнала от жировой ткани, демонстрирующая аппендикс, расположенный слева от срединной линии. Аппендикс утолщен, размером до 9 мм с окружающими воспалительные жировыми прослойками (стрелки). Представлены фронтальные (b) Т2-взвешенные изображения МРТ.

МРТ- серия без задержки дыхания 15-летней пациентки с острым аппендицитом, оценка **М**4



DS подтвержден гистологически. Аппендикс не визуализировался на УЗИ. Наблюдается утолщение стенки аппендикса и периаппендикулярной жировой ткани. Был получен повышенный сигнал на DWI. Аксиальный (а) и фронтальный (b) срезы в Т2-режиме без жирового насыщения соответственно;

МРТ- серия со свободным дыханием 15-летней пациентки с острым аппендицитом, оценка М4



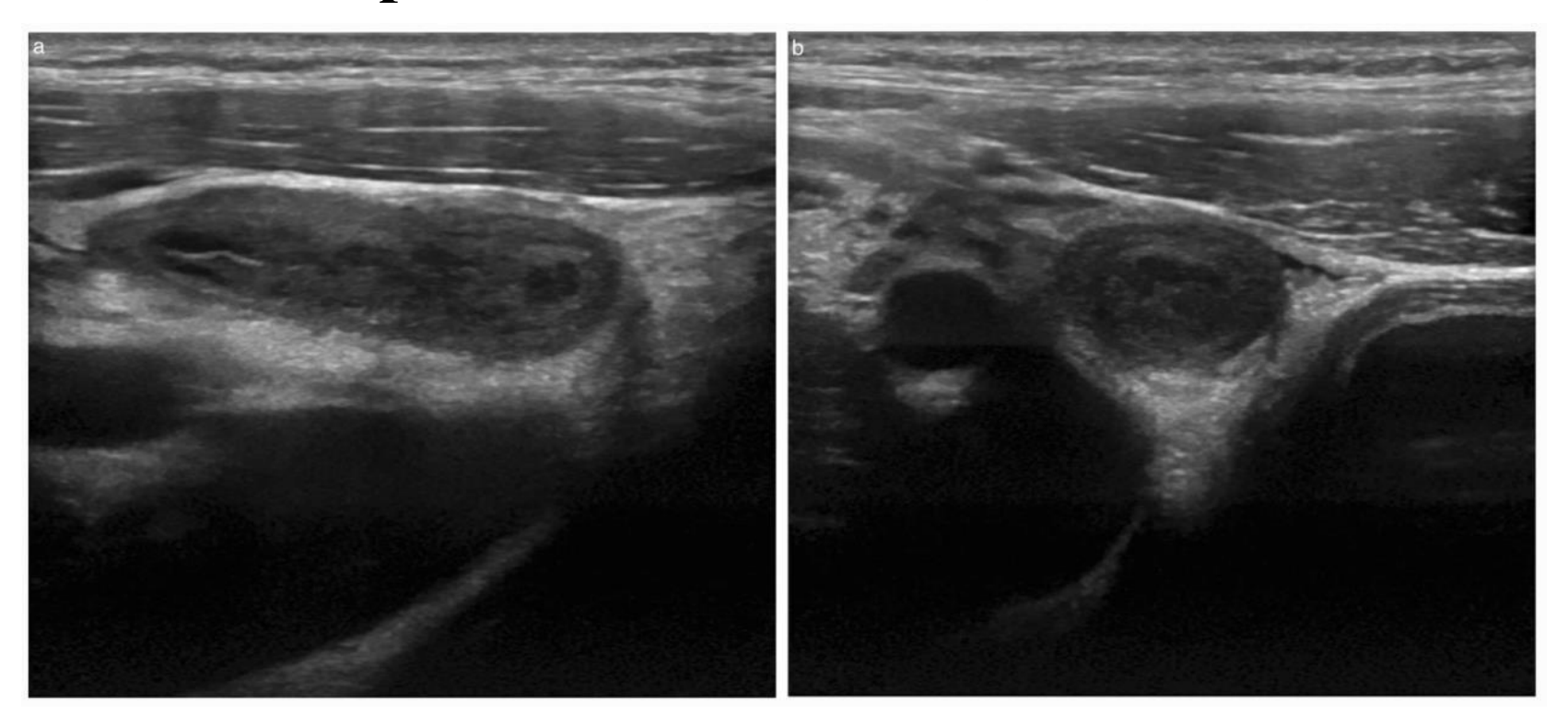
DS подтвержден гистологически. Аппендикс не визуализировался на УЗИ. Наблюдается утолщение стенки аппендикса и периаппендикулярной жировой ткани. Был получен повышенный сигнал на DWI. Аксиальный аксиальный (c) и фронтальный (d) срезы в Т2-режиме с насыщением жира, соответственно; фронтальный срез (e) DWI B = 1400.

Таблица 3. Шкала оценки результатов УЗИ при остром аппендиците

U-баллы / баллы УЗИ	Количество пациентов
U1	2
U2	42
U3	2
U4	6

- Нормальный аппендикс визуализировался у 2-х пациентов из 52, прошедших УЗИ (U1 = 2).
- У 42 пациентов не отмечалось никаких вторичных воспалительных признаков, аппендикс не визуализировался ИЛИ визуализировался частично (U2 = 42).
- Признаки воспаления без визуализации аппендикса были обнаружены у 2-х пациентов (U3 = 2), а аномальный аппендикс визуализировался у 6 пациентов (U4 = 6).

Результаты УЗИ 14-летнего пациента с острым аппендицитом, оценка U4



DS подтвержден гистологически. Аппендикс расширен, диаметром по короткой оси до 1 см с утолщением стенки. Представлены продольное (а) и поперечное (b) сечение аппендикса.

Результаты

- □ Чувствительность и специфичность УЗИ 25% и 92,9% соответственно.
- □ Чувствительность и специфичность МРТ с задержкой дыхания 81,8% и 66,7% соответственно, тогда как чувствительность и специфичность МРТ без задержки дыхания 92,3% и 84,2% соответственно.
- ☐ Чувствительность и специфичность DWI составляла75% и 84% соответственно.
- □ Было обнаружено, что DWI не влияет на определение балла, выставляемого на MPT.

Выводы

- □ Использование протоколов МРТ (особенно без задержки дыхания) при обследовании пациентов, поступивших с подозрением на аппендицит, может привести к более быстрой диагностике, эффективному лечению и скорейшей выписке.
- □ Данный МРТ-протокол имеет статистически значимое диагностическое преимущество перед УЗИ-протоколом.
- □ Более высокая специфичность МРТ-исследования может снизить количество отрицательных аппендэктомий.

Список литературы

1. K. James, P. Duffy/ Fast acquisition abdominal MRI study for the investigation of suspected acute appendicitis in paediatric patients / Insights into Imaging

Ссылка на статью:

https://insightsimaging.springeropen.com/articles/10.1186/s1 3244-020-00882-7